Valoración de la CTMD y la RMI en el diagnóstico de quiste coloide del tercer ventrículo

Autores: : Mazzola, Gerardo; Lerea, Andrea; Cappa, Gustavo; Salomón, Lorena; Yadanza, Melisa; Silva, Roberto. Hospital de Emergencia Dr. Clemente Álvarez (Rosario)



Introducción

- Los quistes coloides son lesiones benignas quísticas que contienen mucina y ocasionalmente colesterol, representando el 0,5-1% de las masas cerebrales.
- Su incidencia es de 3 casos por millón de habitantes y representan hasta el 20% de las masas intraventriculares.

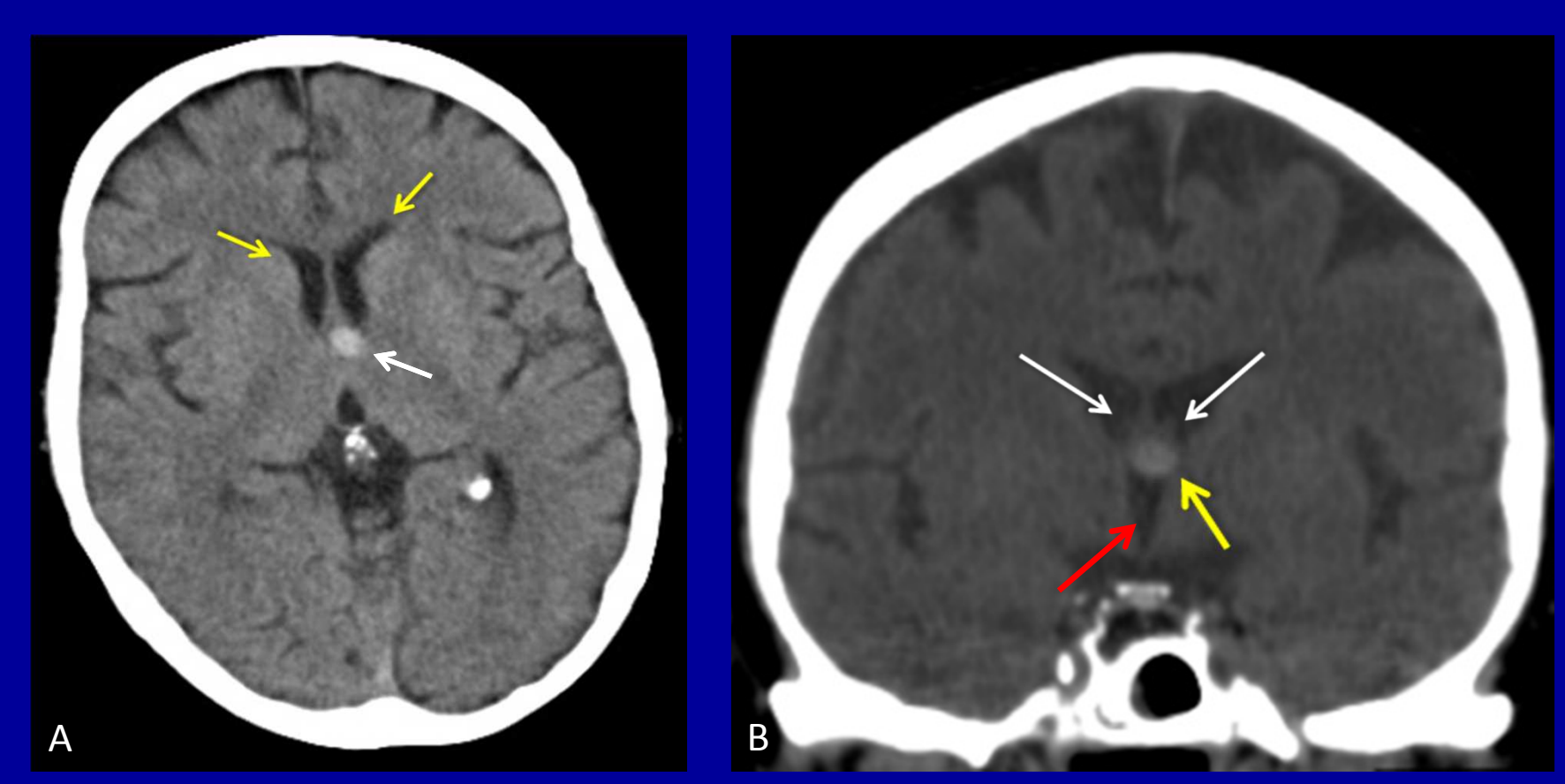
Objetivos de la presentación

 Conocer las características imagenológicas del quiste coloide para el diagnóstico diferencial de los mismos respecto a otros tumores.

 Identificar al quiste coloide del 3° ventrículo como entidad causal de hidrocefalia aguda.

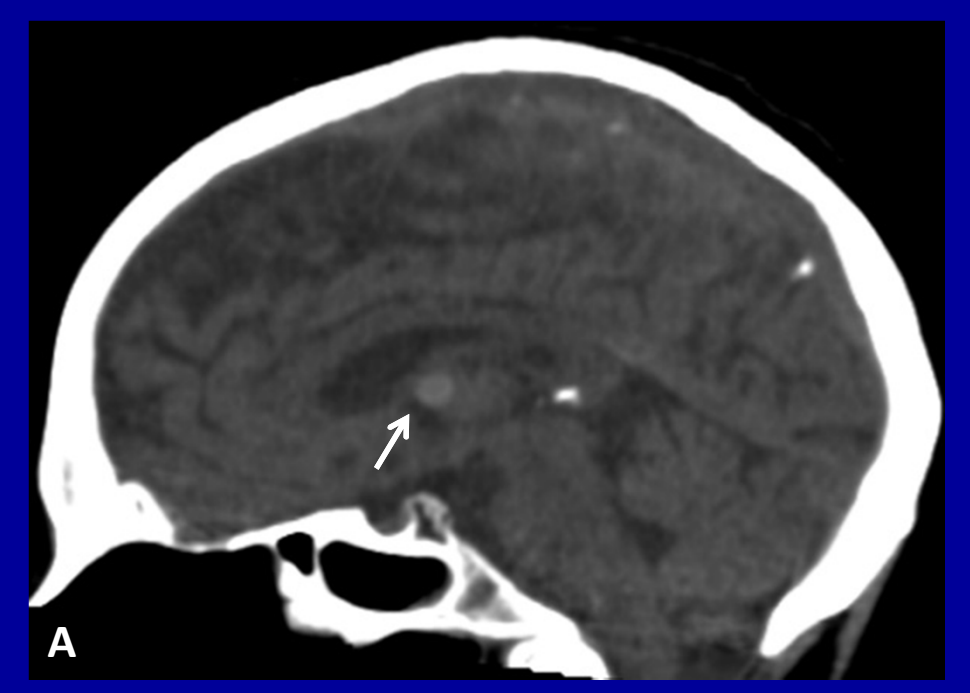
Presentación de un caso clínico

- Paciente de 56 años, sin antecedentes conocidos que consulta por deteriodo del sensorio en estado de ebriedad.
- En estudios imagenológicos se identifica como hallazgo quiste coloide del tercer ventrículo de características típicas, sin evidencia de hidrocefalia ni otros hallazgos de relevancia.
- La paciente se recuperó de sus síntomas en un período de 6 hs.



A: TCMD S/C corte axial: Se visualiza imagen redondeada, hiperdensa espontánea, de contornos netos, correspondiente a quiste coloide del tercer ventrículo (flecha blanca). Su hiperdensidad se debe al alto contenido proteico. Ventrículos laterales de volumen respetado (flechas amarillas).

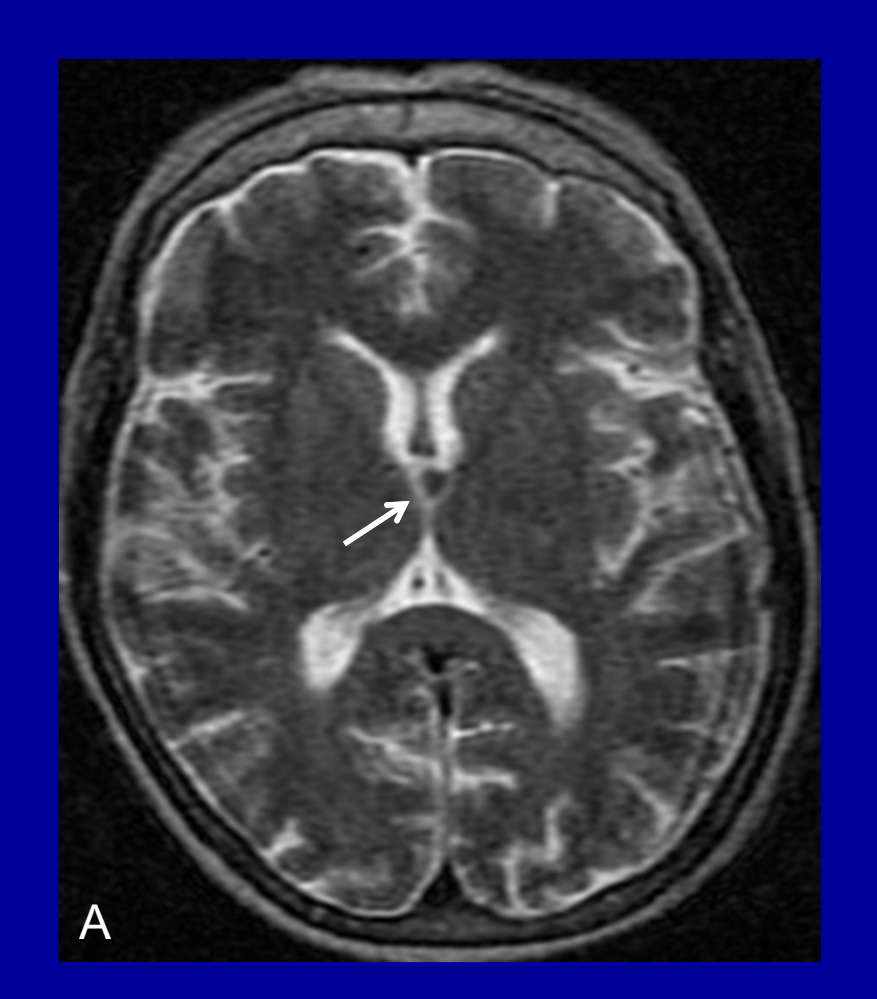
B: TCMD S/C RMP coronal: Nótese la ubicación de la lesión vista en A (flecha amarilla), a nivel del techo del 3° ventrículo (flecha roja), en íntimo contacto con los fórnices (flechas blancas). Hallazgo típico del quiste coloide del tercer ventrículo.

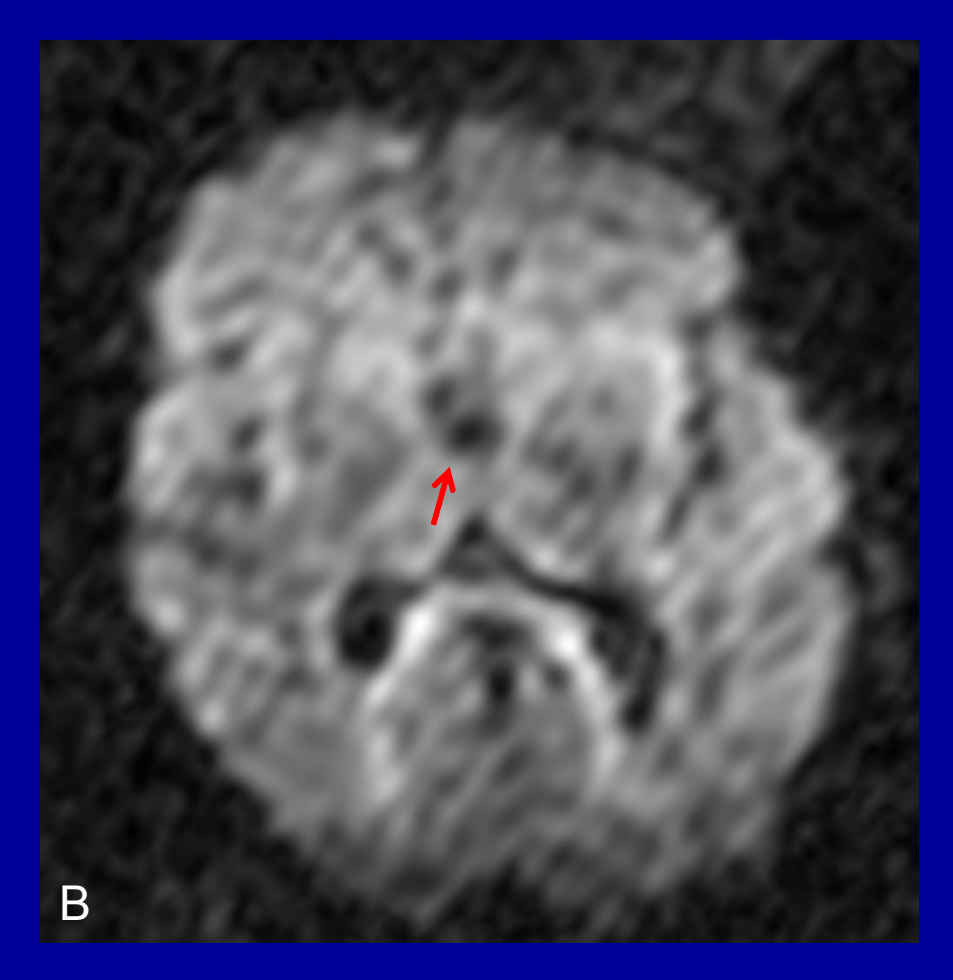




A. TCMD S/C RMP sagital: Obsérvese la lesión hiperdensa en el margen anterior del techo del tercer ventrículo, de contornos definidos. (flecha blanca).

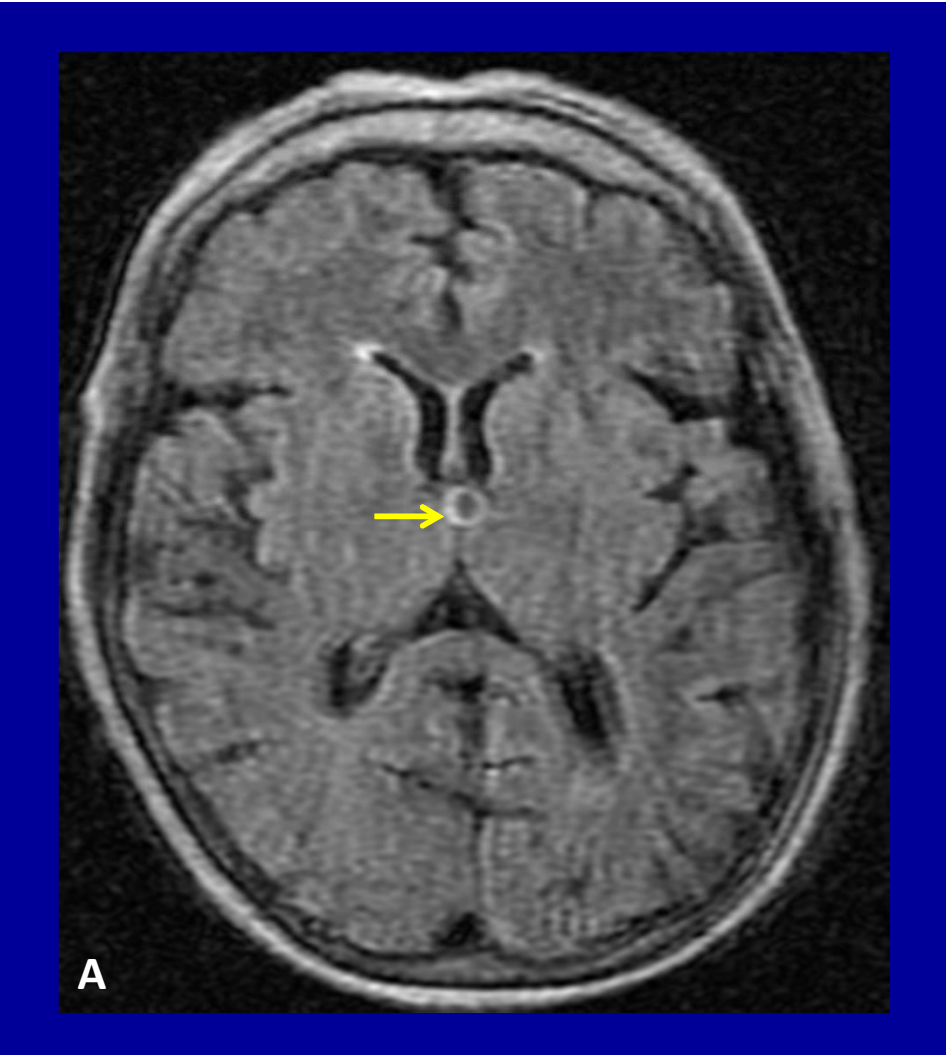
B. RMI en secuencia T1 sagital sin contraste: Se identifica la misma lesión visualizada en la tomografía (flecha blanca), presentándose ligeramente hiperintensa en esta secuencia. Dicho hallazgo corresponde al alto contenido proteináceo de la misma, o eventualmente a la presencia de colesterol en el quiste. El comportamiento en T1 es característico e inhabitual en otros tipos de quistes.

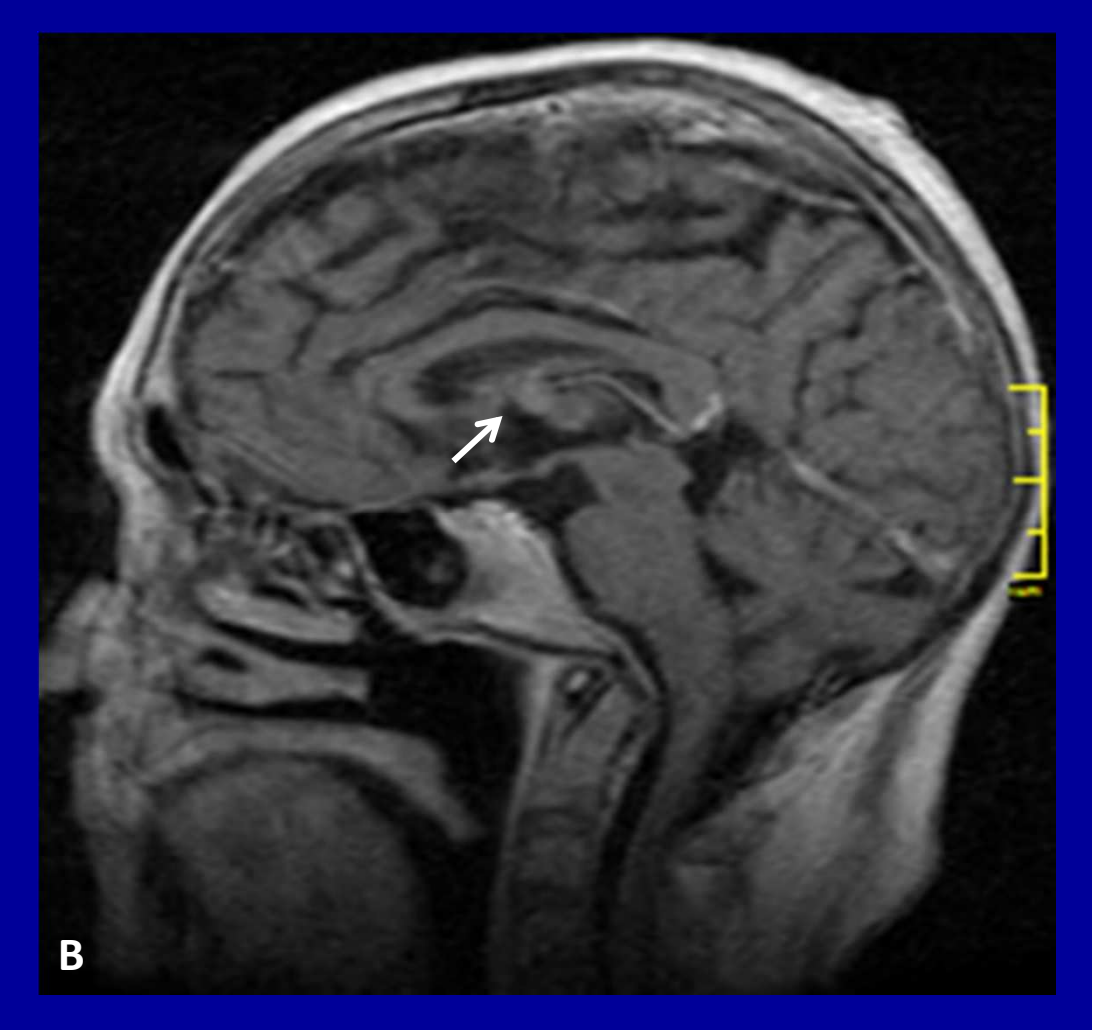




A RMI ponderada en T2 axial: Nótese la imagen hipointensa en esta secuencia (flecha blanca). Dicho comportamiento se debe a la escasa hidratación, patognomónica de los quistes coloides no complicados.

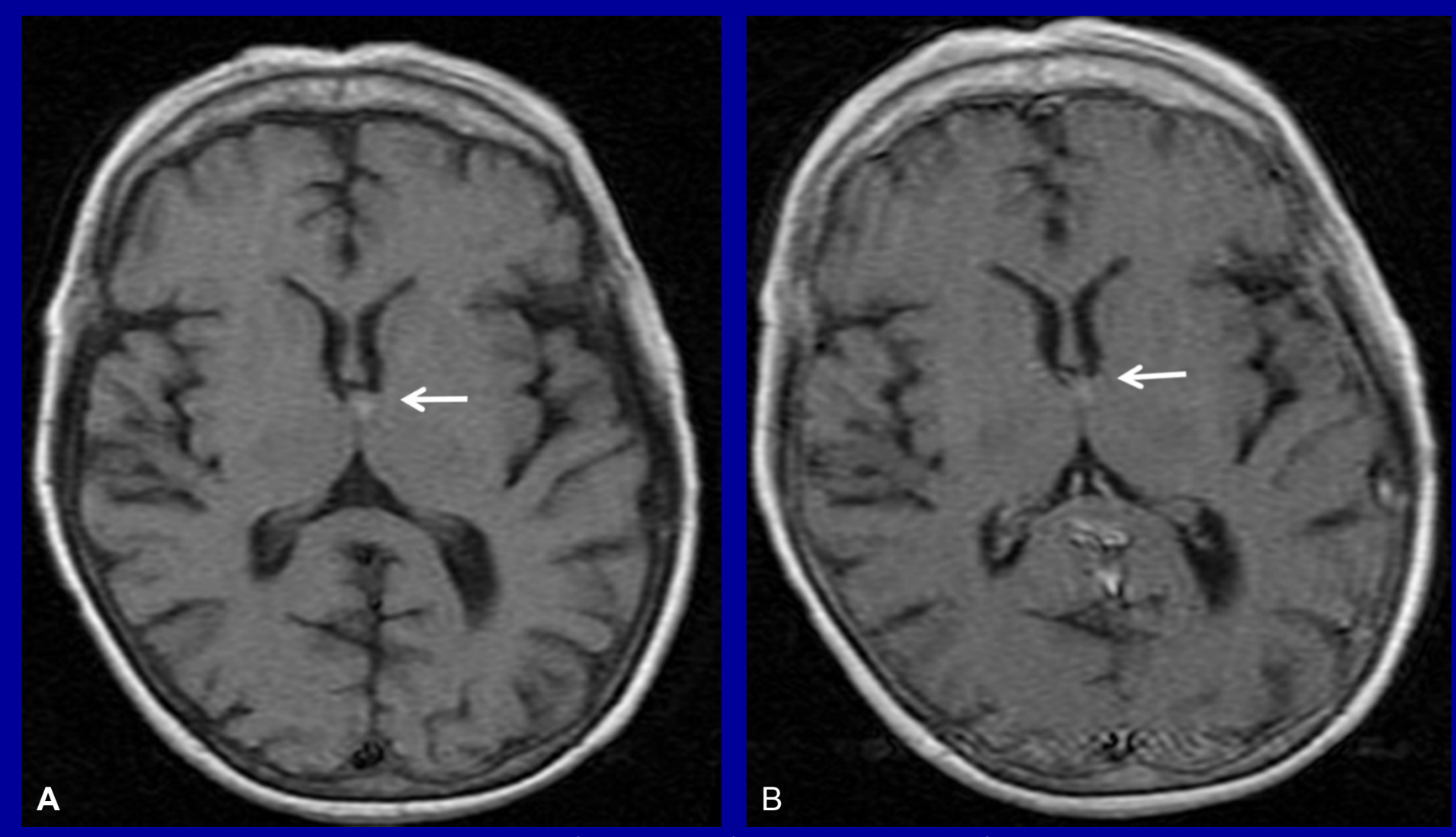
B: RMI en secuencia de difusión: La lesión no restringe en difusión, característica adicional que ayuda en el diagnóstico diferencial de la patología explicitada previamente.





A: RMI axial en secuencia FLAIR: Obsérvese que la lesión suprime parcialmente en FLAIR, presentando un centro hipointenso (flecha amarilla). Dicho hallazgo no es habitual, se explica el comportamiento por la escasa hidratación del quiste en el caso presentado.

B: RMI sagital ponderada en T1 con contraste paramagnético gadolinio: En esta imagen impresiona existir un discreto realce de la lesión (flecha blanca), pero recuérdese que la misma ya se visualizaba hiperdensa en fase sin contraste.



A: RMI axial en secuencia T1 sin contraste: Nótese la lesión de contornos definidos, hiperintensa en esta secuencia (flecha blanca)

B: RMI axial en secuencia T1 con contraste paramagnético gadolinio: La imagen no presenta realce neto tras el contraste, este hecho nos permite descartar componente sólido de la misma y sustenta el diagnóstico de lesión quística compatible con quiste coloide, considerando los hallazgos mencionados en diapositivas previas.

Quiste coloide del tercer ventrículo

- Los quistes coloides son lesiones que en el 99% de los casos se ubican en el borde anterior del techo del tercer ventrículo, desplazando anterolateralmente a los fórnices, en cercanía al agujero del Monro.
- Su importancia radica en que pueden ocluir al mismo y generar hidrocefalia aguda, caracterizada por dilatación ventricular supratentorial y edema periependimario, asociándose a cefalea y pérdida de conciencia.

Quiste coloide del tercer ventrículo

- En CTMD se visualizan como una lesión hiperdensa espontánea, debido al contenido proteináceo denso de los mismos.
- Típicamente presentan contornos netos, redondeados, no realzan al contraste y se ubican en pared anterior y techo del tercer ventrículo, en relación al forámen de Monro.

Quiste coloide del tercer ventrículo

- En RMI se visualizan hiperintensos en T1 y FLAIR, e iso - hipointensos en T2, sin restricción en difusión.
- Su comportamiento depende del porcentaje de mucina y de colesterol, cuando contienen este último.
- La hidratación del quiste altera su patrón imagenológico e implica riesgo de hidrocefalia aguda por abrupto crecimiento de volumen y obstrucción del Monro.

Tratamiento

- Ante el diagnóstico imagenológico de quiste coloide del tercer ventrículo se recomienda evacuación quirúrgica del mismo por vía convencional, estereotácica o drenaje quirúrgico.
- Ocasionalmente, como en el caso de nuestra paciente, se puede tomar conducta espectante, con seguimiento estricto y eventual drenado, debido al riesgo de hidrocefalia aguda.

Conclusión

- Los quistes coloides son lesiones benignas de baja frecuencia, con alto riesgo de ocasionar hidrocefalia aguda, motivo por el cual se sugiere drenaje quirúrgico de los mismos.
- La RMI y CTMD debido a sus características imagenológicas y localización típica, permiten un diagnóstico adecuado de la lesión, así como de sus complicaciones.

Bibliografía

- Colloid Cyst of the Third Ventricle: Imaging-pathologic Correlation, *AJNR Am J Neuroradiol* 21:1470–1477, September 2000.
- Intracranial Lesions with High Signal Intensity on T1-weighted MR Images: Differential Diagnosis, RadioGraphics 2012; 32:499–516 Published online 10.1148/rg.322105761
- Colloid Cysts of the Third Ventricle: Correlation of MR and CT Findings with Histology and Chemical Analysis, *AJNR* 11:575-581, May/June 1990; *AJR* 155:135-141, July 1990
- The Fornix in Health and Disease: An Imaging Review , RadioGraphics 2011; 31:1107–1121
 Published online 10.1148/rg.314105729
- Masses and Malformations of the Third Ventricle: Normal Anatomic Relationships and Differential Diagnoses, RadioGraphics 2011; 31:1889–1905 • Published online 10.1148/rg.317115083
- Neuroradiología, Grossman; MARBAN 2° edition, 2007
- Anne G Osborn MD 2004, First Edition Text Copyright